

SGR B2 지역에 있는 HCO^+ 분자운의 특성 연구

민영철
한국천문연구원

HCO⁺ CLOUDS IN THE SGR B2 REGION

Y. C. Minh

Korea Astronomy Observatory, 61-1, Hwaam-dong, Yuseong, Daejeon 305-348, Korea
E-mail: minh@rao.re.kr

(Received November 5, 2004; Accepted November 17, 2004)

요 약

우리은하 중심에 있는 Sgr B2 분자운 지역에 대하여 $\text{HCO}^+ 1-0$ 친이선을 관측하여 이 지역의 역학적, 화학적 특성을 연구하였다. 이 지역에는 속도가 ~ 50 과 $\sim 100 \text{ km s}^{-1}$ 인 가스 구름이 상호작용을 하고 있는 것으로 보이며, 이에 의하여 Sgr B2 분자운의 새로운 별-탄생이 촉진될 수 있다고 여겨진다. 속도성분이 $\sim 50 \text{ km s}^{-1}$ 인 지역에서, 뚜렷한 가스 집중을 보이는 “OF38 분자운”(‘Odenwald & Fazio FIR 38’ Cloud)이 새로이 발견되었다. 이 분자운의 HCO^+ 칼럼밀도는 $N(\text{HCO}^+) = (2 - 5) \times 10^{14} \text{ cm}^{-2}$, 크기는 약 15pc이며, 총 질량은 약 $10^6 M_\odot$ 으로 계산되었다. 그리고 이 Sgr B2 지역에는 속도 범위가 100 km s^{-1} 에 이르는 큰 규모의 터뷸런트한 컴포넌트가 넓게 퍼져 존재하며, 이 성분의 $N(\text{HCO}^+) = 1 \times 10^{13} \text{ cm}^{-2}$ 으로 상당한 양으로 존재함을 알 수 있다. 그러나 이 지역에서 관측되는 HCO^+ 의 생성반응은, 기존에 제안되었던 H_3^+ 와 CO의 반응보다는, 충격파의 영향에 의하여 증가하는 C^+ 과 OH의 반응에서 보다 효과적으로 생성될 것으로 보인다. 새로이 발견된 “OF38 분자운”的 물리 화학적 특성을 밝히는 일은 앞으로의 과제라고 생각한다.

ABSTRACT

The $\text{HCO}^+ 1-0$ transition line was observed toward the Sgr B2 region in our Galactic center. We found that there exist two large-scale velocity structures of $v_{\text{lsr}} \sim 50$ and $\sim 100 \text{ km s}^{-1}$, which are thought to interact with each other. A new gas clump “OF28 Cloud” (‘Odenwald & Fazio FIR 38’ Cloud), showing different chemical and kinematical properties with the Sgr B2(M) cloud, was found in the 50 km s^{-1} gas component. Toward the core of this component, we derive the HCO^+ total column density, $N(\text{HCO}^+) = (2 - 5) \times 10^{14} \text{ cm}^{-2}$ and the mass $M = 1 \times 10^6 M_\odot$, by estimating its size, $\sim 15 \text{ pc}$, from the half-power width of this component. We also found that there is a highly turbulent component in this region in the velocity range of about 100 km s^{-1} . The column density of this component is $N(\text{HCO}^+) = 1 \times 10^{13} \text{ cm}^{-2}$. The HCO^+ in this region may form effectively by the reaction between C^+ and OH, which are the elements whose abundances increase rapidly in shocked region.

Keywords: SM, interstellar molecule: HCO^+ , galactic center, Sgr B2

1. 서 론

태양으로부터 약 8.5kpc 떨어져 있는 우리 은하의 중심에는(은하중심까지의 거리에 대한 상세한 논의는 Reid(1989) 참조) 많은 양의 중성가스가 집중되어 있다. Sgr B2 분자운은 이곳에 위치한 거대 분자운 컴플렉스의 하나로 우리은하의 중심인 Sgr A*로 부터는 약 100-200pc 정도의 거리에 있는 것으로 생각된다(참조: Liszt 1988). 우리 은하계의 다른 거대분자운들과 비교하여 볼 때, Sgr B2 분자운은, 그 밀도나 총 칼럼밀도 등에서, 매우 극단적인 경우에 속한다. 또한 이 분자운은 매우 높은 밝기의 무거운 별들이 집단으로 탄생되고 있는 아주 흥미로운 천체로, 우리 은하계에서 가장 광범위하게 연구된 천체의 하나이다(예: Irvine, Goldsmith, & Hjalmarson 1987). Sgr B2 분자운은 전체 크기가 약 45pc 정도에 이르고, 평균밀도는 약 2500cm^{-3} 으로, 전체 질량은 $5 \times 10^7 M_\odot$ 에 이른다(Scoville, Solomon, & Penzias 1975, Lis & Goldsmith 1989, Gordon et al. 1993).

Sgr B2 분자운의 중심부에는 전체 질량의 약 10%를 차지하는 “주-가스운(Principal Cloud)”이 있다. 크기가 약 5-10pc 정도의 이 가스운은, 매우 밀도가 높으며($n(\text{H}_2) = 3 - 30 \times 10^4 \text{cm}^{-3}$), 중심부분의 남-북 방향으로, 무거운 별들이 집단으로 탄생하고 있는, 잘 발달한 별-탄생 코어, Sgr B2(M), (N), (S)가 존재하고 있다(참조: Irvine, Goldsmith, & Hjalmarson 1987, Lis & Goldsmith 1991, Minh et al. 1998). 그 중에서도 서로 약 2pc 정도 떨어져 있는 (M)과 (N) 코어는 각각 질량이 $10^4 M_\odot$ 정도이며, 밀도는 10^7cm^{-3} 이상으로, 아주 활발한 별 탄생과 다양한 화학적 특성을 보여 준다(Lis & Goldsmith 1991).

다양한 특성의 이 거대분자운에 대한 연구는 주로 중심부분의 별-탄생 코어에 집중되어 왔다. 그러한 이유는, 별-탄생 코어들이 상대적으로 강한 천이선들을 보이기 때문에 일차적으로 관측이 비교적 쉽다는 점과 함께, 이 코어들이 보이는 다양한 화학적 특성이 매우 흥미롭기 때문일 것이다. 이 Sgr B2 분자운에 대하여 관측된 스펙트럼선들은 매우 넓은 선폭(line-width)을 보이며(수십 km s^{-1} 이상의), 복잡한 방출 구조가 존재함이 알려져 왔으나, 중심부분에 대하여 많은 연구가 집중되어 왔다. 그 외에는 CO 분자선 등을 이용한 은하계 중심지역에 대한 전반적인 연구가 있었으며, Sgr B2의 주변 지역에 대한 역학적 구조에 대한 연구로는 ^{13}CO 나 CS 천이선 등을 이용한 역학적 구조에 대한 연구가 있었다(예: Hasegawa et al. 1994, Sato et al. 2000). 이번 연구에서는 HCO^+ 성간분자의 천이선을 이용하여 Sgr B2 주변의 넓은 지역을 관측하여 이 분자운과 연관된 역학적 구조를 확인하고, 이러한 구조가 이 분자운의 별-탄생을 촉진하거나 흥미로운 다른 현상을 유발하는 근원적인 이유가 되는지를 연구하였다.

HCO^+ 분자는 CO와 밀접하게 연관된 분자로 알려져 왔으며, 크게는 분자운의 전체적인 총 칼럼 밀도의 추적자로서 여겨져 왔다. 우선 HCO^+ 의 천이선들은 광학적 깊이가 CO 분자선들보다 작아 넓은 지역의 밀도를 보다 잘 추적할 수 있을 것으로 생각된다. 그러나 HCO^+ 분자는 그 생성과정이, 충격파의 영향에 있는 지역인 저밀도 성운에서의 전혀 다른 생성과정(Turner 1995)이 존재하므로, 이러한 지역에서 그 분자량이 증가될 수 있다는 점에서 CO와는 다른 새로운 현상이 추적될 수 있을 것으로 예측된다. 다음의 2장에서는 HCO^+ 분자선의 관측에 대하여, 그리고 3장에서 HCO^+ 의 관측 결과와 이로부터 예상되는 새로운 현상에 대한 논의를 정리하였다. 결론은 4장에 요약하였다.

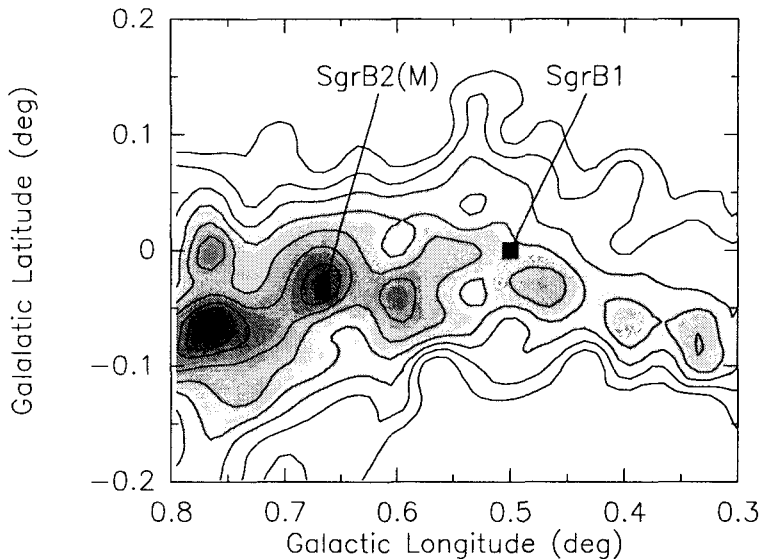


그림 1. 관측된 HCO⁺ 1-0 선의 적분강도($\int T_A^* dv [K \text{ km s}^{-1}]$) 지도. 등고선의 강도는 제일 낮은 등고선의 세기가 $20 K \text{ km s}^{-1}$ 이며, $15 K \text{ km s}^{-1}$ 씩 증가한다.

2. 관 측

관측은 2000년 4월에 칠레 라시야(La Silla, Chile)에 위치한 지름 15미터의 SEST(Swedish-ESO telescope) 전파망원경(Booth et al. 1989)을 사용하여 수행되었다. 관측된 분자선은 HCO⁺ 1-0(89.188GHz)으로 SIS 수신기를 이용하였다. 1500 채널의 음향광학분광기(acousto-optic spectrometer)가 사용되었는데 채널당의 주파수 간격은 0.69MHz 이지만, 주파수 분해능은 대략 1.2 MHz이다. 관측된 주파수(89GHz)에서의 전파망원경의 범-크기(HPBW)는 57호초(arcsecond)이며 주-빔 효율(main beam antenna efficiency)은 75%이었다.

관측된 영역은 온하경도 $l = 0.3^\circ \sim 0.8^\circ$ 그리고 온하위도 $b = -0.2^\circ \sim +0.2^\circ$ 의 지역이며, 양쪽 방향으로 2호분(arcminute) 쪽의 간격으로 전체 지도가 만들어졌으며, 스펙트럼들은 위치-변환(position switching) 방법으로 관측되었다. 이때의 참고위치(reference position)로는, 관측하는 속도영역에서, 관측대상 천이선들이, 관측 예정 rms 값 이상으로 관측되지 않는 위치인 $(l, b) = (0, 2.5^\circ)$ 를 사용하였다. 이 논문에서 사용된 안테나 온도(T_A^*)는 안테나 손실과 대기손실(atmospheric loss)이 표준 쿠퍼-휠(chopper wheel) 방법으로 보정되었으나, 천체의 밀도분포를 고려한 범-희석(beam dilution)은 고려하지 않았다. 관측된 주파수에서의 대표적인 시스템 잡음온도는 약 150K(SSB) 이었으며, 관측된 스펙트럼들의 대표적인 rms 값은 약 0.15K 이었다.

3. 결 과 및 토의

그림 1은 관측된 HCO⁺ 1-0 천이선의 총 적분강도 지도(integrated intensity map)이다. 전체적으로 방출 세기가 우리 온하면을 따라 분포되어 있는 것으로 나타난다. 총 칼럼 밀도의 피크로 알려

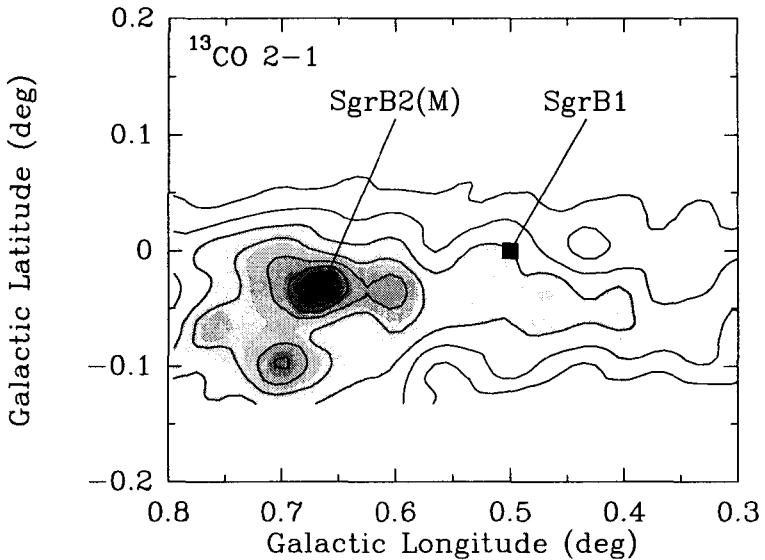


그림 2. ^{13}CO 2-1선의 적분강도 지도로(Minh, Irvine, & Kim 2004, 그림 1에서 채용). 등고선의 강도는 제일 낮은 등고선의 세기가 100K km s^{-1} 이며, 30K km s^{-1} 씩 증가한다.

져 있는 Sgr B2(M) 위치에서 방출세기가 상대적으로 증가하고 있지만 그렇게 큰 집중현상을 보이지 않으며, 그보다는 $(l, b) = (0.77^\circ, -0.07^\circ)$ 에서 보다 강한 방출을 보인다. 그 지역에 HCO^+ 로 추적되는 고밀도의 코어가 존재하고 있음을 알 수 있다. 이 코어는 특정 분자의 집중체로서는 아직 보고된 적이 없는 것으로 여겨지지만, 앞선 원-적외선 관측연구($40\text{--}250\mu\text{m}$, Odenwald & Fazio 1984)에서 발견된 $(l, b) = (0.75^\circ, -0.05^\circ)$ 위치의 “FIR 38” 소스가 이 HCO^+ 코어와 거의 일치하는 것으로 여겨진다. 따라서 편의상 이 가스덩어리를 “OF38 분자운”(‘Odenwald & Fazio FIR 38’ Cloud)라고 부르기로 한다. 이 FIR 소스는 연속과 전파는 확인이 되지 않는 것으로 보아 아직 새로운 별이 형성되어 있지는 않은 것 같다. 아직 별이 탄생되지는 않았고, 또한 화학적으로 특이한 현상을 보이는 이 ‘OF38 분자운’은 매우 흥미로운 연구대상이 될 것 같다.

전반적인 세기 분포를 비교하기 위하여, 대규모적인 세기 분포의 추적자로 사용되는 CO 분자 중에서 보다 광학적 깊이가 작은 ^{13}CO 분자선 지도를 그림 2에 포함시켰다. ^{13}CO 분자선은 ^{12}CO 분자선보다는, 우리은하 중심에서의 동위원소 비($[^{12}\text{C}]/[^{13}\text{C}]$)인 약 25배(참조: Minh, Irvine, & Friberg 1992) 정도 광학적 깊이가 작다. 그래도 가스가 집중되어 있는 지역에서의 광학적 깊이는 여전히 클 것으로 생각 되므로, 고밀도 코어에서는 여전히 정확한 칼럼밀도를 추적하지는 못하겠지만, 큰 스케일의 전체적인 분포에서는 비교적 정확히 전체 밀도를 보여주고 있다고 예상된다. 그림 2에서 보는 이 ^{13}CO 분자선의 방출세기는 일반적인 예상대로 (M) 위치에서 가장 강한 피크를 보이며, 전반적으로 이 점을 중심으로 구형의 세기 분포를 보인다.

그림 2와 그림 1을 비교하여 보면, HCO^+ 방출선 세기는 상당히 다른 모습을 보인다. 우선 은하면을 따라 방출선의 세기 분포가, ^{13}CO 만큼 (M) 위치에 집중되어 있지 않고, 어느 정도 퍼져 있으며

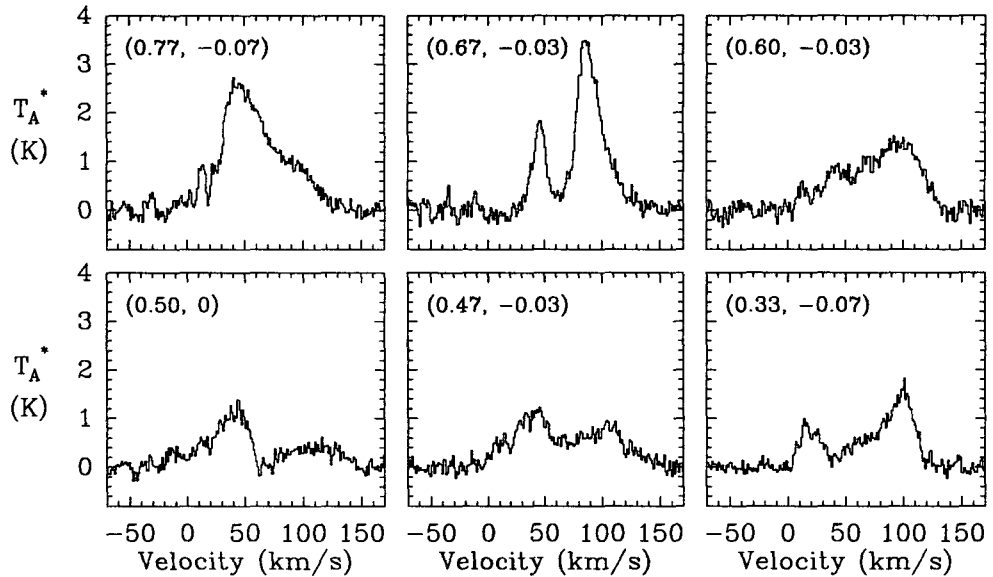


그림 3. 관측된 스펙트럼의 샘플. 관측된 지역의 위치는 각 패널의 왼쪽 위에 있으며 이들의 관측 파라메터는 표 1에 있다. 관측된 스케일은 $T_A^*(\text{K})$ 로 설명은 2장에 있다.

표 1. 그림 3에 관측된 스펙트럼들의 파라메타로 2-가우시안을 적용하여 구한 값.

위 치(l, b) (degree)	v_{lsr} (km s^{-1})	$\Delta v(\text{FWHM})$ (km s^{-1})	T_A^* (K)	$\int T_A^* dv$ (K km s^{-1})	rms(1σ) (K)
(0.77, -0.07)	47.2	40.3	2.5	106.8	0.15
	91.8	41.9	0.9	39.9	
(0.67, -0.03)	45.8	14.3	1.7	26.5	0.18
	89.0	26.2	3.2	90.4	
(0.60, -0.03)	52.9	62.4	0.8	51.8	0.18
	99.5	39.1	1.2	51.4	
(0.50, 0)	37.0	36.9	1.1	42.9	0.15
	110.3	44.6	0.4	20.8	
(0.47, -0.03)	38.4	46.8	1.0	50.8	0.16
	102.3	46.3	0.8	38.6	
(0.33, -0.07)	19.9	23.4	0.8	19.9	0.14
	93.3	41.7	1.3	57.5	

덩어리진 모습을 보인다. 특히 ^{13}CO 지도에서는 ‘OF38 분자운’도 나타나지 않는다. 이러한 사실은 HCO⁺ 분자가 일반적으로 생각하는 것처럼 전체 칼럼밀도를 잘 추적하는 것은 아니라는 사실을 보여준다. 그림 1의 관측 결과는 HCO⁺ 분자가, 가스밀도의 증가에 따라 어느 정도 일정하게 함량이 증가 하겠지만 그 외에, 물리적인 환경의 변화에 대한 다른 화학적 특성의 분자 생성과정이 있기 때문에 가능할 것으로 예측된다. 이와 관련한 화학적 반응에 대하여는 아래에 다시 논의한다.

그림 3은 관측된 분자선의 몇 지역 샘플들을 보여 준다. 관측된 위치는 각 패널의 왼쪽 위에 표시되어 있다. 그리고 표 1은 이 분자선들의 관측 파라메타들이다. 우선 수 십 km s^{-1} 에 이르는 매우 큰

선폭(line-width)을 볼 수 있는데, 크게는 두 가지 속도, 대략 50km s^{-1} 와 100km s^{-1} 의 성분으로 분리되어 보인다. Sgr B2(M) 위치 근처인(0.67, -0.03)의 스펙트럼은 분명히 분리된 두 속도 성분을 보이는데, 이 지역은 위낙 밀도가 높기 때문에, 많은 분자선들이 자체-흡수(self-absorption) 선의 모습을 보이는 지역이다. HCO^+ 분자선도, Sgr B2의 주-속도 성분인 65km s^{-1} 에서 흡수선의 모습을 보이는 데 어느 정도 자체-흡수 되었을 가능성이 매우 크다. 그러나 다른 위치에서 관측된 전체적인 결과를 보면, 이 지역에도 서로 다른 두 속도 성분의 가스 구름이 존재한다고 보아야 할 것이다. 이러한 분석은 앞으로 다른 동위원소를 포함하는 HCO^+ 분자선을 관측하여 확인하여야 할 것이다. 그러나 다른 지역들은 총 밀도가 상대적으로 낮은 지역으로 이곳에서 나타나는 스펙트럼선의 모습들은, 크게는 두 속도 성분으로 분명히 분리되면서, 터뷸런스의 영향을 많이 받은 모양을 보인다. Sgr B2 지역 전반에 걸쳐 여러 속도 성분들의 구조적인 운동이 존재하는 것으로 보인다. 이들의 상호 연관이 이 지역의 진화에 중요한 영향을 미칠 것이다.

전체적인 스펙트럼의 모습을 체계적으로 보기 위하여, 관측된 지역의 위치-속도 지도(space-velocity map)가 그림 4에 있다. 앞에서 스펙트럼선에 대한 설명에서 언급하였던, 넓은 선-폭을 분명히 볼 수 있다. 이 지도의 첫 등고선의 강도는 0.5K 이다. 이 등고선의 속도 범위는 거의 100km s^{-1} 에 이르며, 관측된 넓은 지역에 퍼져 분포한다. 이 속도 성분을 따로 분리하여 내기는 어렵지만, 이 Sgr B2 지역에는 넓은 지역에 퍼져있는, 높은 정도의 터뷸런스를 가지는 가스가 존재하고 있음을 알 수 있다. 만일 선의 강도가 0.5K 이고 속도 범위는 약 100km s^{-1} 에 걸쳐 분포하는 성분이 존재한다면, 이 가스성분의 칼럼밀도는, 분자회전 온도를 $20\text{--}50\text{K}$ 로 가정하면(참조: Nummelin 1998), $N(\text{HCO}^+) = (0.7 - 1.6) \times 10^{13}\text{cm}^{-2}$ 이 된다. 이를 총 수소분자 칼럼밀도로 환산하기 위하여는 총 수소밀도에 대한 HCO^+ 분자의 상대적 함량을 알아야 하는데, 앞선 연구에서 이 상대적 함량 $f(\text{HCO}^+)$ 은 대략 $10^{-8} - 10^{-9}$ 정도의 값을 갖는 것으로 나타나지만(Irvine, Goldsmith, & Hjalmarson 1987, Nummelin 1998), 이 값에는 불확실성이 매우 크다. 이 $f(\text{HCO}^+)$ 를 적용하면, 이 성분의 총 수소 칼럼밀도 $N(\text{H}_2)$ 는 약 $10^{21} - 10^{22}\text{cm}^{-2}$ 로 상당한 양으로 존재하고 있음을 알 수 있다. 이 넓은 속도 성분은 그림 4에서 보듯이 가스가 집중되어 있는 뚜렷한 코어들과는 별도로 넓게 분포함을 알 수 있다. 이 넓은 속도성분과 알려진 고밀도 분자운들과의 상관관계는 보다 더 많은 연구가 필요한 흥미로운 주제로 생각된다.

이 Sgr B2 지역에서 뚜렷이 나타나는 고밀도의 가스 집합체는 그림 4(c)에서의 80km s^{-1} 성분과 그림 4(d)에서 뚜렷이 나타나는 50km s^{-1} 성분이다. 이 두 성분은 분명히 위치적으로나 속도 값을 볼 때 서로 분리되어 있는 별도의 가스 덩어리임을 알 수 있다. 이 50km s^{-1} 성분(OF38 분자운)은 아직 다른 연구에서 소개되지 않은 새로운 컴포넌트로 화학적 특성이 Sgr B2(M)을 포함하는 주-가스성운과는 매우 다른 것으로 나타나고 있다(SiO, HNCO 연구: Minh 2005, in preparation). HCO^+ 방출선은 Sgr A 지역과 Sgr B2 지역과는 약간 분리되어 있는 모습을 보인다. 이 지도의 오른쪽으로는 Sgr A 분자운이 연결되는데, 100km s^{-1} 에서 증가된 방출 컴포넌트가 존재함을 그림 4(d)에서 볼 수 있다. 이 성분은 기존의 Sgr A 지역의 분자운 속도인 약 50km s^{-1} (참조: Minh et al. 1991)와는 다른 처음 알려진 새로운 속도 컴포넌트이다. 앞으로 이 Sgr B2와 Sgr A의 상호 연관관계에 대한 보다 많은 연구는 우리 은하 중심 지역의 매우 복잡한 역학적 구조를 연구할 수 있는 중요한 기회를 제공할 것이다.

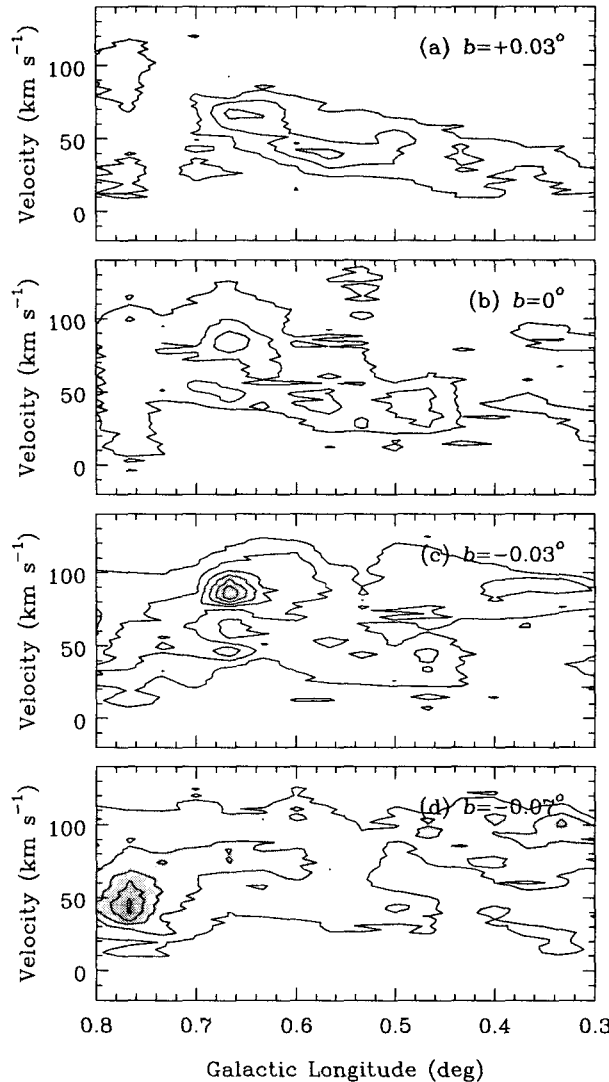


그림 4. 관측된 스펙트럼들을, 각각의 은하위도에서, 은하경도를 따라 만들어진 위치-속도 지도(space-velocity map). 각 은하위도는 패널의 오른쪽 위에 표시되어 있다. 등고선의 세기는 모든 패널에 같은 0.5K부터 시작하여 0.5K씩 증가한다.

속도에 따른 다른 컴포넌트들이 존재함에 따라, 스펙트럼을 각 속도별로 나눈 적분강도의 분포를 구하였으며 이 분포지도가 그림 5에 있다. 속도 범위가 $0 - 60 \text{ km s}^{-1}$ (편의상 $\sim 50 \text{ km s}^{-1}$ 성분으로 부름)의 적분강도 지도에서는 앞서 언급한 'OF38 문자운' 컴포넌트가 뚜렷이 나타나며, Sgr B1을 중심으로도 가스가 집중되어 있음을 볼 수 있다. 반면에 $70 - 130 \text{ km s}^{-1}$ (편의상 $\sim 100 \text{ km s}^{-1}$ 성분이라고 부름) 지도에서는 Sgr B2(M) 문자운이 뚜렷이 나타난다. 분포 모습으로 볼 때, 이 두 $\sim 50, \sim 100 \text{ km s}^{-1}$ 속도 성분의 가스구름은 같은 지역에 함께 존재하고 있다고 생각되나, 큰 속도차

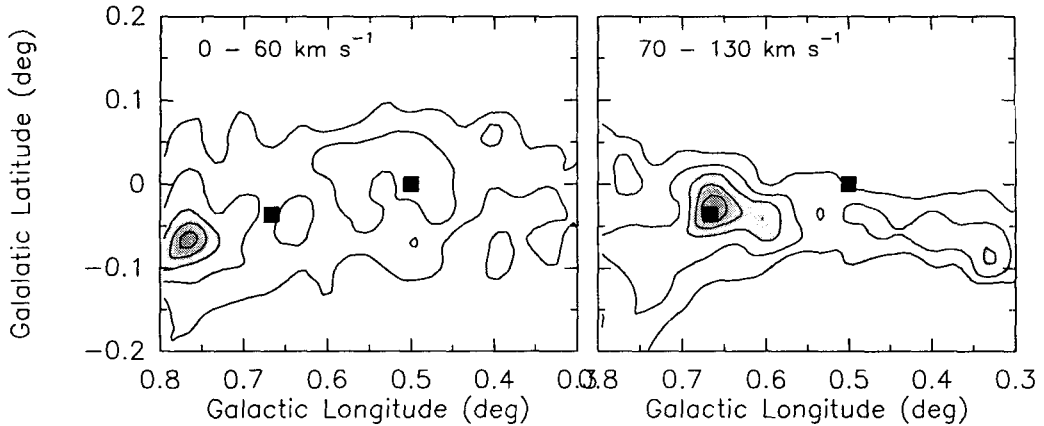


그림 5. 관측된 HCO^+ 1-0선에 대하여 두 가지 속도 성분($0 - 60 \text{ km s}^{-1}$ 와 $70 - 130 \text{ km s}^{-1}$)으로 분리하여 만들어진 적분 강도 지도. 속도는 각 패널의 원쪽 위에 표시되어 있으며, Sgr B2(M)과 Sgr B1의 위치는 검은 네모상자로 표시되어 있다. 등고선의 세기는 그림 1과 같게 20 K km s^{-1} 에서 시작하여, 15 K km s^{-1} 씩 증가 한다.

이를 고려할 때, 두 속도 성분에 따른 가스 구름들의 상호작용이 별-탄생을 촉진시키거나 진화에 중요한 영향을 미칠 것으로 예상할 수 있다. 분자운-분자운 간의 충돌이 고밀도 코어를 형성시키고 별-탄생을 촉발시키리라는 것이 예견되어 왔으며, Sgr B2 지역에서도 그러한 가능성이 제시되어 왔다(예: Mehringer et al. 1993, Hasegawa et al. 1994, Minh et al. 1998, Sato et al. 2000). 이번 연구는 이러한 앞선 연구에서 제시된 가능성을 보다 구체적으로 확인하는 것이지만, 그러나 ^{13}CO 와 같은 일반적인 밀도 추적자로서는 뚜렷이 분별이 어려운, 다른 화학적 특성을 갖는 'OF38 분자운'이 존재하고 있다는 사실을 보여준다. 이 분자운이 Sgr B2(M) 분자운과의 충돌을 일으키고, 이 지역적인 별-탄생을 촉진시킬 가능성이 매우 높다고 생각된다. 이러한 가능성은 이 지역에 대한 HNCO나 SiO 분자선의 관측(Minh, in preparation)에서 보다 분명히 나타난다. 이 'OF38 분자운'은, 그림 1의 HCO^+ 분포에서 보듯이, 화학적 특성이, 전반적인 Sgr B2(M) 분자운과는 상당히 다르며, 또한 그림 4에서 나타나는 대로, 역학적인 구조도 다르다는 것을 알 수 있다. 'OF38 분자운'의 이러한 특성은, 내부에서 별 탄생이 가시적으로 나타나기 직전의, 특이한 화학적 현상을 보여주는 흥미로운 예가 아닌가 생각된다. 이 'OF38 분자운'의 특성에 대하여는 앞으로의 보다 체계적인 연구가 있어야 할 것으로 생각된다.

이 'OF38 분자운'과 Sgr B1의 적분 강도의 피크 값(그림 1)으로부터, 앞서 넓은 속도 성분에서 구한 것과 같은 방법으로, 광학적 깊이가 작은 것을 가정하여, 총 칼럼 밀도 값을 구하였다. 그 값은, 'OF38 분자운'에서 $N(\text{HCO}^+) = (2 - 5) \times 10^{14} \text{ cm}^{-2}$ 이고, Sgr B1에서는 $(1 - 2) \times 10^{14} \text{ cm}^{-2}$ 이다. 이 값은 Sgr B2(M)에서의 값과 거의 상응하는 값으로 이들 지역에 총 밀도가 Sgr B2 분자운에 상응하는 큰 값임을 알 수 있다. 'OF38 분자운'의 질량을 구하기 위하여, 적분 피크 값에서 HPW(Half-Power Width)의 크기를 구하면, 이 분자운의 크기는 대략 15pc($\sim 6 \text{ arcmin}$)이다. 앞서 넓은 속도 성분에서 언급하였듯이 HCO^+/H_2 함량의 비($f(\text{HCO}^+)$)의 값을 $10^{-8} - 10^{-9}$ 이라고 하면, 총 질량은 약 $10^6 M_\odot$ 으로 계산되어 상당한 질량의 가스덩어리로 존재함을 알 수 있다. 그러나 이 지역에서

HCO⁺의 생성이 저밀도 성운에서의 화학적 특성에 의하여 영향을 받았다면 총 가스 질량의 계산에는 이에 상응하는 불확실성이 존재할 것이다. 이 분자운의 물리적 특성은 보다 자세한 앞으로의 연구가 필요하다.

HCO⁺는 화학적으로 볼 때 다른 복합분자들 보다 덜 복잡한 방법으로 생성되며 CO 분자와 밀접하게 연결되어 있다. 밀도가 높은 성간운에서는 본질적으로 모든 가능한 탄소들이 CO의 형태로 존재하며, HCO⁺는 H₃⁺와 CO의 반응에 의하여 형성된다. 그러한 이유에서 이 분자도 전체적인 칼럼 밀도를 잘 추적하는 분자로 알려져 왔다. 그러나 밀도가 낮은 성간운(diffuse clouds)에서는 HCO⁺와 CO 모두 C⁺와 OH의 반응에 의하여 생성 된다(Turner 1995).

물론 Sgr B2 지역은 전체적으로 매우 밀도가 높은 지역으로 고밀도에서의 분자 생성 반응식이 유효할 것이며, 이 경우는 가스의 밀도 분포를 따라 CO의 분포와 비슷하게 분포하는 모습을 보일 것이다. 그러나 그림 1과 2를 비교하여 보면, HCO⁺의 분포가 ¹³CO 분포와는 상당히 다름을 알 수 있다. 그러므로 HCO⁺ 함량이, 가스밀도를 따라 비례적으로 증가한다고 생각할 수 없으며, 일반적인 예상대로 고밀도 지역에서의 생성반응이라고 알려진 H₃⁺와 CO의 반응이 HCO⁺의 주 생성과정이라고 보여지지 않는다. 이러한 사실은 HCO⁺와 관련된 매우 흥미로운 화학적 결과이다.

반면에 저밀도 성운지역에서의 주-반응으로 알려진 C⁺와 OH의 반응(Turner 1995)에 의한 HCO⁺의 생성이 보다 중요할 수 있을 것으로 생각된다. 은하중심 지역은, 비록 전반적으로 밀도가 높더라도, 은하중심지역의 많은 격렬한 활동에 의하여 크게 영향 받고 있는 지역이다. 즉 충격파의 영향이 광범위한 지역으로, 충격파에 의하여 크게 증가되는 성분으로 알려진 C⁺와 OH가 HCO⁺ 생성의 주요 반응식이 될 수 있을 것으로 생각된다. 그렇다면 이제까지 알려진 것과는 달리 HCO⁺ 매우 좋은 충격파 지역의 추적자로서 활용될 수 있을 것이다. 이번 연구에서 밝혀진 새로운 가스코어인 'OF38 분자운'은 물리 화학적 특성에 대하여 보다 많은 연구가 필요하며, 흥미로운 현상이 기대된다.

4. 요 약

칠레의 ESO에 있는 SEST 전파망원경을 이용하여 우리은하중심에 있는 Sgr B2 분자운 지역에 대하여 HCO⁺ 1-0 천이선을 관측하였다. 관측결과, 이 지역에는 속도가 ~ 50과 ~ 100kms⁻¹인 큰 규모의 서로 다른 구조가 존재하며, 이 두 속도 성분들은 상호 작용을 하는 것으로 보이며, 이에 의하여 Sgr B2 분자운의 새로운 별-탄생이 촉진될 수 있다고 여겨진다. 이 Sgr B2 지역에는 또한 속도 범위가 100kms⁻¹에 이르는 높은 터뷸런스 컴포넌트가 넓게 펴져 존재하며, 이 성분의 HCO⁺ 칼럼 밀도는 N(HCO⁺) = (0.7 – 1.6) × 10¹³cm⁻²으로 그 양은 HCO⁺가 집중된 지역에 비하여 약 10분의 1정도로 상당한 양으로 존재함을 알 수 있다.

약 50kms⁻¹의 속도성분 지역에는 뚜렷한 가스 덩어리인 "OF38 분자운"이 새로이 발견되었다. 이 코어는 N(HCO⁺) = (2 – 5) × 10¹⁴cm⁻²이고, HPW 크기는 약 15pc이며 총 질량은 3 × 10⁶M_⊙으로 계산되었다. 그러나 이 지역의 HCO⁺ 과련 화학적 특성은, 충격파의 영향에 의한 C⁺와 OH의 반응에서 비롯된 생성과정이 유효할 것으로 보인다. 이러한 HCO⁺의 화학적 특성은 기존에 알려진 충칼럼밀도의 추적자로서의 역할보다는 충격파의 추적자로서의 역할을 할 수 있다는 흥미로운 사실을 알려준다. 이 새로이 발견된 "OF38 분자운"의 물리 화학적 특성을 밝히는 일은 앞으로의 과제라고 생각한다.

감사의 글: 심사위원께서 여러 가지의 좋은 지적을 하여 주셔서, 이 논문의 내용이, 전체적으로 크게 향상된 점에 대하여 감사를 드립니다.

참고문헌

- Booth, R. S., Delgado, G., Hagsrom, M., Johansson, L. E. B., & Murphy, D. C. 1989, A&A, 216, 315
- Gordon, M. A., Berkermann, U., Mezger, P. G., Zylka, R., Haslam, C. G. T., Kreysa, E., Sievers, A., & Lemke, R. 1993, A&A, 280, 208
- Hasegawa, T., Sato, F., Whiteoak, J. B., & Miyawaki, R. 1994, ApJ, 429, L77
- Irvine, W. M., Goldsmith, P. F., & Hjalmarson, A. 1987, in Interstellar Processes, eds. D. J. Hollenbach & H. A. Thronson (Dordrecht: Reidel), p.561
- Lis, D. C., & Goldsmith, P. F. 1989, ApJ, 337, 704
- Lis, D. C., & Goldsmith, P. F. 1991, ApJ, 369, 157
- Liszt, H. 1988, in Galactic and Extragalactic Radio Astronomy, eds. G. L. Verschuur & K. I. Kellermann (Berlin: Springer-Verlag), p.359
- Mehringer, D. M., Palmer, P., Goss, W. M., & Yusef-Zadeh, F. 1993, ApJ, 412, 684
- Minh, Y. C., Brewer, M. K., Irvine, W. M., Friberg, P., & Johansson, L. E. B. 1991, A&A, 244, 470
- Minh, Y. C., Haikala, L., Hjalmarson, A., & Irvine, W. M. 1998, ApJ, 498, 261
- Minh, Y. C., Irvine, W. M., & Friberg, P. 1992, A&A, 258, 489
- Minh, Y. C., Irvine, W. M., & Kim, S.-J. 2004, JKAS, in print
- Nummelin, A. 1998, Ph.D. Thesis, Chalmers Univ. of Technology
- Odenwald, S. F., & Fazio, G. G. 1984, ApJ, 283, 601
- Reid, M. J. 1989, IAU Symp. 136, ed. M. Morris (Dordrecht: Kluwer), p.37
- Sato, F., Hasegawa, T., Whiteoak, J. B., & Miyawaki, R. 2000, ApJ, 535, 857
- Scoville, N. Z., Solomon, P. M., & Penzias, A. A. 1975, ApJ, 201, 352
- Turner, B. E. 1995, ApJ, 449, 635